

# Solutions globales pour les équations décrivant des écoulements insaturés en milieux poreux, avec une pression capillaire dynamique

J. Bodin<sup>1,2</sup>, T. Clopeau<sup>2</sup>, A. Mikelić<sup>2</sup>

<sup>1</sup> Agence Nationale pour la gestion des Déchets Radioactifs,  
<sup>2</sup> Institut Camille Jordan (UCBL)



- 1 **Présentation du modèle**
  - Modèle de Richards classique
  - Modèle incluant la pression capillaire dynamique
- 2 **Existence d'une solution globale pour le problème régularisé**
  - Approximation de Galerkin
  - Théorème d'existence
- 3 **Les propriétés du modèle**
  - Principe du maximum
  - Existence d'une solution globale pour le problème dégénéré
- 4 **Un schéma numérique entropique**
  - Formulation variationnelle entropique
  - Existence d'une solution pour ce schéma numérique
  - Convergence
- 5 **Simulations**
- 6 **Conclusion et perspectives**

Présentation du modèle

Existence d'une solution globale pour le problème régularisé

Les propriétés du modèle

Un schéma numérique entropique

Simulations

Conclusion et perspectives

Présentation du modèle

Modèle de Richards classique

Modèle incluant la pression capillaire dynamique

Existence d'une solution globale pour le problème régularisé

Les propriétés du modèle

Un schéma numérique entropique

Simulations

Conclusion et perspectives

# Présentation du modèle

## Équation de Richards :

$$\partial_t \theta - \operatorname{div} (k(\theta) \nabla P) = 0,$$

où  $\theta = \phi S$  : la fraction volumique du liquide,  $P$  : pression du liquide.

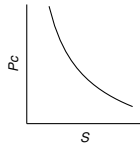
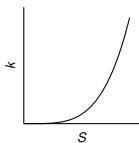
Pression capillaire (statique) :

$$P_c(\theta) = P_A - P.$$

Conductivité hydraulique :

$$k(\theta) = K \frac{k_f^r(\theta)}{\mu}.$$

Classiquement :  $P_c$  et  $k_f^r$  fonctions univoques de  $\theta$ .



Pression capillaire dynamique [1] :

$$P_A - P = P_c(\theta) - \tau \partial_t \theta. \quad (1)$$

$\tau$  : coefficient de relaxation.

Introduction de la pression capillaire dynamique (1) dans l'équation de conservation de la masse :

$$\Rightarrow \partial_t \theta - \tau \operatorname{div} (k(\theta) \nabla (\partial_t \theta)) + \operatorname{div} (k(\theta) P'_c(\theta) \nabla \theta) = 0 \quad (2)$$

$\Omega$  un ouvert bornée de  $\mathbb{R}^n$ , à frontière localement lipschitzienne.

Cadre d'étude simplifier :

- milieu isolé,
- $\tau$  constant,
- gravité négligée,
- flux massique nul sur le bord du domaine  $\Omega$ ,
- $\theta(x, t = 0) = \theta_0(x), \quad \forall x \in \Omega$ .

Présentation du modèle

Modèle de Richards classique

Modèle incluant la pression capillaire dynamique

Existence d'une solution globale pour le problème régularisé

Les propriétés du modèle

Un schéma numérique entropique

Simulations

Conclusion et perspectives

## Objectifs

- Existence d'une solution globale pour le problème continu.
- Estimation *a priori* entropique  $\Rightarrow \theta \in H^1(0, T; H^1(\Omega))$
- Principe du maximum.
- Construction et analyse d'un schéma numérique *entropique*.

L'étude des EDPs d'ordre 3 ne sont pas très présentes dans la littérature.

- L. Pego, A. Novick-Cohen :  $\tau$  et  $k$  constants [2].
- C. Cuesta, J. Hulshoff, C. van Duijn : ondes progressives (linéaire) [3] [4].

Peu de références sur les EDPs non-linéaires dégénérées d'ordre 3 [5].  
 $\Rightarrow$  même l'étude du problème régularisé présente un intérêt.



S. M. HASSANIZADEH and W. G. GRAY, "Thermodynamic basis of capillary pressure in porous media," *Water Resources Research*, vol. 29, pp. 3389–3405, October 1993.



L. PEGO and A. NOVICK-COHEN, "Stable patterns in a viscous diffusion equation," *American Mathematical Society*, vol. 324, no. 1, 1991.



C. CUESTA, C. VAN DUIJN, and J. HULSHOF, "Infiltration in porous media with dynamic capillary pressure: Travelling waves," *J. Appl. Math.*, vol. 11, pp. 381–397, 2000.



C. CUESTA and J. HULSHOF, "A model problem for groundwater flow with dynamic capillary pressure: stability of travelling waves," *Nonlinear Anal.*, vol. 52, pp. 1199–1218, 2003.



A. MIKELIC and H. BRUINING, "Analysis of model equations for stress-enhanced diffusion in coal layer. part i : Existence of a weak solution.." 2008.

Présentation du modèle

Existence d'une solution globale pour le problème régularisé

Approximation de Galerkin  
Théorème d'existence

Les propriétés du modèle

Un schéma numérique entropique

Simulations

Conclusion et perspectives

# Existence d'une solution globale pour le problème régularisé



Présentation du modèle

Existence d'une solution globale pour le problème régularisé

Approximation de Galerkin  
Théorème d'existence

Les propriétés du modèle

Un schéma numérique entropique

Simulations

Conclusion et perspectives

## Régularisation :

$$k_\varepsilon(\theta) = k(\varepsilon + \theta^+)$$

$$P'_{c,\varepsilon}(\theta) = P'_{c,\varepsilon}(\varepsilon + \theta^+)$$

$$\text{où } \theta^+(x, t) = \sup(\theta(x, t), 0)$$

## Considérations pour le problème non dégénéré :

$$1. 0 < m_k \leq k_\varepsilon(\theta) \leq M_k < \infty, \quad (3)$$

$$2. 0 < m_p \leq |P'_{c,\varepsilon}(\theta)| \leq M_p < \infty. \quad (4)$$

**(pb.reg)** = formulation variationnelle associée au modèle régularisé,  $\theta_\varepsilon$  sa solution.

## Méthode de Galerkin :

- $\{\alpha_j\}_{j \in \mathbb{N}}$  une base de  $H^1(\Omega)$ ,
- $V_N = \text{Vect}\{\alpha_1, \dots, \alpha_N\}$  l'espace de discrétisation.

$$\theta_{\varepsilon N}(x, t) := \sum_{i=1}^N c_i(t) \alpha_i(x),$$

où les coefficients  $c_i(t)$  vérifient :

$$\int_{\Omega} \partial_t \theta_{\varepsilon N} \alpha_j dx + \int_{\Omega} \tau k_{\varepsilon N} \nabla(\partial_t \theta_{\varepsilon N}) \nabla \alpha_j dx - \int_{\Omega} k_{\varepsilon N} \mathbf{P}'_{c, \varepsilon N} \nabla \theta_{\varepsilon N} \nabla \alpha_j dx = 0$$

$$\forall j = 1, \dots, N \quad (5)$$

⇒ Problème de Cauchy :

$$\begin{cases} A(c) \frac{dc(t)}{dt} = B(c) c \quad \text{p.p. sur } ]0, T[ \\ c_i(0) = \int_{\Omega} \theta_0(x) \alpha_i(x) dx. \end{cases} \quad (6)$$

Présentation du modèle

Existence d'une solution globale pour le problème régularisé

Approximation de Galerkin

Théorème d'existence

Les propriétés du modèle

Un schéma numérique entropique

Simulations

Conclusion et perspectives

Pour  $i, j = 1, \dots, N$  :

$$\mathbf{c}(t) = (c_1, \dots, c_N)^T$$

$$A_{ji}(\mathbf{c}) = \int_{\Omega} \alpha_i \alpha_j \, dx + \int_{\Omega} \tau k_{\varepsilon N} \nabla \alpha_i \nabla \alpha_j \, dx$$

$$B_{ji}(\mathbf{c}) = \int_{\Omega} k_{\varepsilon N} P'_{c, \varepsilon N} \nabla \alpha_i \nabla \alpha_j \, dx$$

### Proposition

*Il existe un  $T_N > 0$  tel que le problème (6) admet une unique solution appartenant à  $C^1[0, T_N]$ .*

**Preuve :**  $A(\mathbf{c})$  est une matrice symétrique définie positive.

## Proposition

*Il existe des constantes  $C$  indépendantes de  $T_N$  telles que pour tout  $t \in [0, T_n]$  :*

$$\|\partial_t \theta_{\varepsilon N}\|_{L^2(0, t; L^2(\Omega))} \leq C \quad \|\nabla(\partial_t \theta_{\varepsilon N})\|_{L^2(0, t; L^2(\Omega)^n)} \leq C$$

**Preuve :**  $\alpha_j \rightarrow \partial_t \theta_{\varepsilon N} = \sum_{i=1}^N c'_i(t) \alpha_i(x)$  dans (5).

## Conclusion

Pour tout  $T > 0$ , la solution du problème variationnel approché existe et appartient à  $C^1([0, T]; V_N)$ .

## Proposition

*Il existe des constantes  $C$  indépendantes de  $N$  telles que :*

$$\|\theta_{\varepsilon N}\|_{L^\infty(0, T; L^2(\Omega))} \leq C$$

$$\|\partial_t \theta_{\varepsilon N}\|_{L^2(0, T; L^2(\Omega))} \leq C$$

$$\|\nabla \theta_{\varepsilon N}\|_{L^2(0, T; L^2(\Omega)^n)} \leq C$$

$$\|\sqrt{k_{\varepsilon N}} \nabla (\partial_t \theta_{\varepsilon N})\|_{L^2(0, T; L^2(\Omega)^n)} \leq C$$

**Preuve :**  $\alpha_j \rightarrow \theta_{\varepsilon N} = \sum_{i=1}^N c_i(t) \alpha_i(x)$ .

## Théorème

*Il existe une solution faible  $\theta_\varepsilon$  du problème **(pb.reg)** avec :*

$$\theta_\varepsilon \in H^1(0, T; H^1(\Omega)).$$

*De plus  $\theta_\varepsilon \geq 0$  p.p. sur  $]0, T[ \times \Omega$ .*

**Remarque :** estimations introduites dépendant de  $m_k$ .

Présentation du modèle  
Existence d'une solution globale pour le problème régularisé

Les propriétés du modèle

Principe du maximum  
Existence d'une solution globale pour le problème dégénéré

Un schéma numérique entropique

Simulations

Conclusion et perspectives

# Les propriétés du modèle

L'entropie mathématique  $\mathcal{E}$  vérifie :

$$\mathcal{E}''(\theta) = \frac{1}{k_\varepsilon(\theta)}.$$

On appellera *variable entropique*, notée  $\varphi$ , la primitive de  $\mathcal{E}''$  :

$$\varphi = \mathcal{E}'(\theta) = \int_0^\theta \frac{d\xi}{k_\varepsilon(\xi)} + C_\varepsilon. \quad (7)$$

### Théorème

Soit  $\theta_\varepsilon$  la solution du problème **(pb.reg)**. On a alors :

$$\operatorname{ess\,inf}_{x \in \Omega} \theta_0(x) \leq \theta_\varepsilon(x, t) \leq \operatorname{ess\,sup}_{x \in \Omega} \theta_0(x), \quad p.p. \text{ sur } ]0, T[ \times \Omega$$

**Majoration :**

$$u^+(x, t) = \max(\theta_\varepsilon(x, t) - \theta_0^{\max}, 0) \quad \text{avec} \quad \theta_0^{\max} = \operatorname{ess\,sup}_{x \in \Omega} \theta_0(x)$$

Fonction test  $\varphi$  dans la formulation variationnelle de **(pb.reg)** :

$$\varphi = \int_0^{u^+} \frac{d\varphi}{k(\varepsilon + \varphi + \theta_0^{\max})}.$$

Présentation du modèle

Existence d'une solution globale pour le problème régularisé

Les propriétés du modèle

Principe du maximum

Existence d'une solution globale pour le problème dégénéré

Un schéma numérique entropique

Simulations

Conclusion et perspectives

## Proposition

La solution  $\theta_\varepsilon$  du problème **(pb.reg)** vérifie :

$$\|\nabla\theta_\varepsilon\|_{L^\infty(0, T; L^2(\Omega))} \leq C \quad \text{où} \quad (8)$$

$$C = \frac{2}{\tau} \int_{\Omega} \mathcal{E}(\theta_0) dx + \int_{\Omega} |\nabla\theta_0(x)|^2 dx.$$

**Preuve :** fonction test  $\rightarrow$  variable entropique  $\varphi$  avec  $C_\mathcal{E} = 0$ .

$$\Rightarrow \quad \partial_t \left( \int_{\Omega} \mathcal{E}(\theta_\varepsilon) dx + \frac{\tau}{2} \int_{\Omega} |\nabla\theta_\varepsilon|^2 dx \right) \leq 0 \quad \text{p.p. sur } ]0, T[.$$



## Proposition

Si l'on suppose qu'il existe une constante  $M$  telle que

$$\sup_{x \in [0,1]} k(x) |P'_c| \leq M,$$

alors on obtient les estimations, indépendamment de  $m_k$  :

$$\begin{aligned} \|\nabla \theta_\varepsilon\|_{L^\infty(0, T; L^2(\Omega))} &\leq C & \|\theta_\varepsilon\|_{L^2(0, T; L^2(\Omega))} &\leq C \\ \|\sqrt{-P'_{c,\varepsilon}} \nabla \theta_\varepsilon\|_{L^2(0, T; L^2(\Omega))} &\leq C & \|\partial_t \theta_\varepsilon\|_{L^2(0, T; L^2(\Omega))} &\leq C \\ & & \|\sqrt{k_\varepsilon} \nabla (\partial_t \theta_\varepsilon)\|_{L^2(0, T; L^2(\Omega))} &\leq C \end{aligned}$$

estimation pour  $\nabla (\partial_t \theta_\varepsilon)$  dans  $L^q([0, T] \times \Omega)$ ,  $q > 1$ ?

OUI, car

$$\int_0^T \int_\Omega \frac{1}{k_\varepsilon^q(\theta_\varepsilon)} \leq C,$$

indépendamment de  $m_k$ .

**Conclusion :** On peut maintenant passer à la limite  $\varepsilon \rightarrow 0$ , et la limite satisfait (2).

Présentation du modèle  
Existence d'une solution globale pour le problème régularisé

Les propriétés du modèle

Un schéma numérique entropique

Formulation variationnelle entropique  
Existence d'une solution pour ce schéma numérique  
Convergence

Simulations

Conclusion et perspectives

# Un schéma numérique entropique

Nouvelle variable :

$$\varphi = f(\theta) = \int_0^\theta \frac{d\varphi}{k(\varphi)} \quad \Rightarrow \quad \theta(\varphi) = \int_0^\varphi k(f^{-1}(\psi)) d\psi.$$

Formulation variationnelle entropique de (*pb.reg*) :

Trouver  $\varphi \in H^1(0, T; H^1(\Omega))$  telle que :

$$\begin{aligned} & \int_{\Omega} \partial_t \theta(\varphi) v dx - \int_{\Omega} k(\theta(\varphi)) P'_c(\theta(\varphi)) \nabla \theta(\varphi) \nabla v dx \\ & + \int_{\Omega} \tau k(\theta(\varphi)) \partial_t \nabla \theta(\varphi) \nabla v dx = 0, \quad \text{p.p. sur } ]0, T[, \quad \forall v \in H^1(\Omega), \quad (9) \end{aligned}$$

avec la condition initiale

$$\varphi(x, 0) = \varphi_0(x) = \int_0^{\theta_0(x)} \frac{d\varphi}{k(\varphi)} \in H^1(\Omega). \quad (10)$$

(*pb.entrop*) = (9)-(10).

Présentation du modèle

Existence d'une solution globale pour le problème régularisé

Les propriétés du modèle

Un schéma numérique entropique

Formulation variationnelle entropique

Existence d'une solution pour ce schéma numérique  
Convergence

Simulations

Conclusion et perspectives

- $\{\alpha_i\}_{i \in \mathbb{N}}$  une base de  $H^1(\Omega)$ .
- $[0, T] \rightarrow N + 1$  intervalles égaux de longueur  $\Delta t = T/(N + 1)$ .
- Définition récursive des éléments  $\varphi_h^0, \dots, \varphi_h^N$ , de  $V_h$  :

$\rightarrow \varphi_h^0 =$  projeté orthogonal de  $\varphi_0$  sur  $V_h$ , dans  $H^1(\Omega)$ .

$\rightarrow \varphi_h^n, n \geq 0$  connu,  $\varphi_h^{n+1}$  définit par la relation :

$$\begin{aligned} & \int_{\Omega} \frac{\theta(\varphi_h^{n+1}) - \theta(\varphi_h^n)}{\Delta t} v_h \, dx \\ & + \int_{\Omega} \tau k(\theta(\varphi_h^{n+1})) \frac{\nabla \theta(\varphi_h^{n+1}) - \nabla \theta(\varphi_h^n)}{\Delta t} \nabla v_h \, dx \\ & - \int_{\Omega} k(\theta(\varphi_h^{n+1})) P'_c(\theta(\varphi_h^{n+1})) \nabla \theta(\varphi_h^{n+1}) \nabla v_h \, dx = 0 \quad \forall v_h \in V_h. \end{aligned} \tag{11}$$

Présentation du modèle

Existence d'une solution globale pour le problème régularisé

Les propriétés du modèle

Un schéma numérique entropique

Formulation variationnelle entropique

Existence d'une solution pour ce schéma numérique

Convergence

Simulations

Conclusion et perspectives

## Proposition

Soit  $n \in \mathbb{N}$ . Supposons  $\varphi_h^n$ ,  $n \geq 0$  connu. Le schéma numérique défini par la relation (11) admet une solution  $\varphi_h^{n+1} \in V_h$ .

### Preuve :



$$\begin{aligned}
 (\Phi(\xi_h), v_h) &= \int_{\Omega} (\theta(\xi_h) - \theta(\varphi_h^n)) v_h \, dx \\
 &\quad + \int_{\Omega} \tau k(\theta(\xi_h)) (\nabla \theta(\xi_h) - \nabla \theta(\varphi_h^n)) \nabla v_h \, dx \\
 &\quad - \Delta t \int_{\Omega} k(\theta(\xi_h)) P'_c(\theta(\xi_h)) \nabla \theta(\xi_h) \nabla v_h \, dx \quad \forall v_h \in V_h.
 \end{aligned} \tag{12}$$

- Point fixe de Brouwer.

- **Objectif** : Solution du schéma numérique (11) converge vers la solution du problème variationnel (**pb.entrop**) quand  $\Delta t \rightarrow 0$  et  $h \rightarrow \infty$ .
- **Méthode** :  $h \rightarrow \infty$ , puis  $\Delta t \rightarrow 0$ .

### Proposition

*Il existe des constantes  $C$  indépendantes de  $h$  telles que l'on ait les estimations :*

$$\max_{1 \leq n \leq N+1} \int_{\Omega} (\varphi_h^n)^2 dx \leq C, \quad (13)$$

$$\max_{1 \leq n \leq N+1} \int_{\Omega} |\nabla \theta (\varphi_h^n)|^2 dx \leq C, \quad (14)$$

$$\Delta t \sum_{n=1}^{N+1} \int_{\Omega} |P'_c (\theta (\varphi_h^n))| |\nabla \theta (\varphi_h^n)|^2 dx \leq C, \quad (15)$$

**Preuve** :  $v_h = \varphi_h^n$  dans (11).

Présentation du modèle

Existence d'une solution globale pour le problème régularisé

Les propriétés du modèle

Un schéma numérique entropique

Formulation variationnelle entropique

Existence d'une solution pour ce schéma numérique

Convergence

Simulations

Conclusion et perspectives

## Théorème

Quand  $h \rightarrow \infty$ , la suite  $\{\varphi_h^n, n = 0, \dots, N+1\}_h$  de  $V_h^{N+2}$  converge fortement dans  $L^2(\Omega)^{N+2}$  vers  $\{\varphi^n, n = 0, \dots, N+1\}$  solution du problème discret :

$$\begin{aligned} & \int_{\Omega} \frac{\theta(\varphi^{n+1}) - \theta(\varphi^n)}{\Delta t} v \, dx \\ & + \int_{\Omega} \tau k(\theta(\varphi^{n+1})) \frac{\nabla \theta(\varphi^{n+1}) - \nabla \theta(\varphi^n)}{\Delta t} \nabla v \, dx \\ & - \int_{\Omega} k(\theta(\varphi^{n+1})) P'_c(\theta(\varphi^{n+1})) \nabla \theta(\varphi^{n+1}) \nabla v \, dx = 0 \quad \forall v \in H^1(\Omega) \end{aligned} \quad (16)$$

Avec la condition initiale  $\varphi^0(x) = \varphi_0(x)$ .

D'autre part la convergence de la suite  $\{\varphi_h^n, n = 0, \dots, N+1\}_h$  de  $V_h^{N+2}$  vers  $\{\varphi^n, n = 0, \dots, N+1\}$  est faible dans  $H^1(\Omega)^{N+2}$

Présentation du modèle

Existence d'une solution globale pour le problème régularisé

Les propriétés du modèle

Un schéma numérique entropique

Formulation variationnelle entropique

Existence d'une solution pour ce schéma numérique

Convergence

Simulations

Conclusion et perspectives

## Proposition

Pour  $0 \leq n \leq N$ , il existe des constantes  $C$  indépendantes de  $\Delta t$  telles que l'on ait les estimations :

$$\Delta t \sum_{n=0}^N \int_{\Omega} \left( \frac{\theta(\varphi^{n+1}) - \theta(\varphi^n)}{\Delta t} \right)^2 dx \leq C \quad (17)$$

$$\Delta t \sum_{n=0}^N \int_{\Omega} \left| \frac{\nabla \theta(\varphi^{n+1}) - \nabla \theta(\varphi^n)}{\Delta t} \right|^2 dx \leq C \quad (18)$$

Prolongement sur  $[0, T]$  :

- $\theta_{\Delta t}(\varphi)(t) = \theta(\varphi^{n+1})$  si  $t \in ]n\Delta t, (n+1)\Delta t]$ ,  $n = 0, \dots, N$ .
- $\tilde{\theta}_{\Delta t}(\varphi)(t)$  une application continue de  $[0, T]$  dans  $H^1(\Omega)$ , linéaire sur  $[n\Delta t, (n+1)\Delta t]$ , et égale à  $\theta(\varphi^{n+1})$  au point  $(n+1)\Delta t$ .



Présentation du modèle

Existence d'une solution globale pour le problème régularisé

Les propriétés du modèle

Un schéma numérique entropique

Formulation variationnelle entropique

Existence d'une solution pour ce schéma numérique

Convergence

Simulations

Conclusion et perspectives

## Lemme

*Il existe une constante  $C$  indépendante de  $\Delta t$  telle que les deux fonctions définies ci-dessus vérifient*

$$|\theta_{\Delta t}(\varphi) - \tilde{\theta}_{\Delta t}(\varphi)|_{L^2(0,T;L^2(\Omega))}^2 \leq \frac{(\Delta t)^2}{3} C$$

## Théorème

*Quand  $\Delta t \rightarrow 0$ , les suites  $\theta_{\Delta t}(\varphi)$  et  $\tilde{\theta}_{\Delta t}(\varphi)$  convergent fortement dans  $L^2(0, T; L^2(\Omega))$  vers  $\theta(\varphi)$  solution du problème variationnel non dégénéré **(pb.entrop)**, et de manière faible dans  $H^1(0, T; H^1(\Omega))$ .*

- Présentation du modèle
- Existence d'une solution globale pour le problème régularisé
- Les propriétés du modèle
- Un schéma numérique entropique
- Simulations
- Conclusion et perspectives

# Simulations

$$\Phi = 0.4$$

$$(BC) P_d = 5 \times 10^2 \text{ Pa}$$

$$S_r = 5 \times 10^{-2}$$

$$K = 5.11 \times 10^{-12} \text{ m}^2$$

$$(BC) \lambda = 2$$

$$\mu = 1 \times 10^{-3} \text{ kg.m}^{-1} . \text{s}^{-1}$$

Présentation du modèle

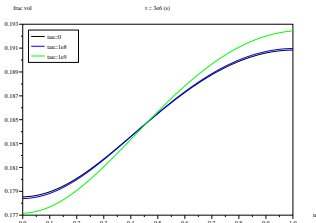
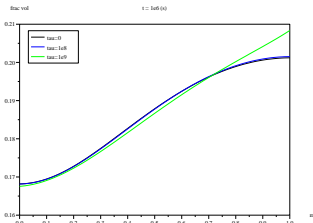
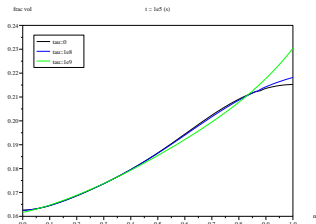
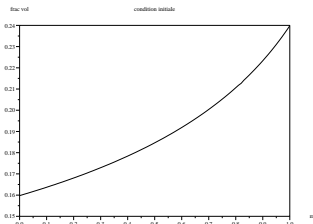
Existence d'une solution globale pour le problème régularisé

Les propriétés du modèle

Un schéma numérique entropique

Simulations

Conclusion et perspectives



- Présentation du modèle
- Existence d'une solution globale pour le problème régularisé
- Les propriétés du modèle
- Un schéma numérique entropique
- Simulations
- Conclusion et perspectives

## Conclusion et perspectives

## Conclusion

Introduction du modèle de pression capillaire dynamique dans l'équation de Richards :

- existence d'une solution globale pour le problème dégénéré ( $k(0) = 0$ ),
- une régularité de la solution supérieure à la régularité qu'on obtient pour Richards,
- principe du maximum,
- schéma numérique *entropique* stable et convergent, indépendamment de la dégénérescence de  $k$ .

## Perspectives

- Flux massique non nul.
- Simulations.
- Écoulements multiphasiques avec pression du gaz non constante.